

شناخت منابع تغذیه چشمه‌های کارستی مهم استان خوزستان با استفاده از ایزوتوپ‌های پایدار اکسیژن ۱۸ و دوتیریم

حمیدرضا محمدی بهزاد^(۱)، دکتر نصرالله کلانتری^(۲)، دکتر عباس چرچی^(۳) و دکتر آرش ندری^(۴)

۱. دکتری هیدروژئولوژی، باشگاه پژوهشگران جوان و نخبگان، واحد اهواز، دانشگاه آزاد اسلامی، اهواز، ایران
۲. استاد هیدروژئولوژی، گروه زمین‌شناسی، دانشکده علوم زمین، دانشگاه شهید چمران، اهواز، ایران
۳. استادیار تکتونیک، گروه زمین‌شناسی، دانشکده علوم زمین، دانشگاه شهید چمران، اهواز، ایران
۴. استادیار هیدروژئولوژی، گروه زمین‌شناسی، دانشکده علوم زمین، دانشگاه شهید چمران، اهواز، ایران

تاریخ دریافت: ۹۴/۱۱/۰۷

تاریخ پذیرش: ۹۵/۰۷/۲۸

چکیده

چشمه‌های کارستی سبزآب و بی‌بی‌تلخون از جمله چشمه‌های پرآب استان خوزستان هستند که به ترتیب از آهک‌های آسماری تاقدیس‌های کمارون و پابده تخلیه می‌شوند. سطح بیرون زده آهک‌های آسماری هر دو تاقدیس مناسب با حجم آب تخلیه شده از این چشمه‌ها نمی‌باشد. بر اساس بررسی‌های بیلان اجمالی و هیدروگراف تخلیه چشمه‌ها، منابع آب مهمی در منطقه مورد مطالعه وجود دارد (از جمله مخزن سد شهید عباسپور و همچنین تاقدیس شیرگون) که می‌توانند در تغذیه چشمه‌های یاد شده دخالت داشته باشند. بنابراین، جهت ارزیابی این موضوع، محتوی ایزوتوپ‌های پایدار O^{18} و H^2 تمامی منابع آب موجود در منطقه هدف (تخلیه) و در منطقه تغذیه برای دو دوره تر (بهمن ۹۱) و خشک (تیر ۹۲) تعیین شد. سپس، با استفاده از این نتایج ایزوتوپی و خط آب جوی محلی، به بررسی منشأ تغذیه چشمه‌های منطقه هدف پرداخته شد و ارتفاع منطقه تغذیه و سهم تغذیه احتمالی این چشمه‌ها از منابع آب موجود در منطقه تعیین گردید. نتایج نشان داد که ارتفاع منطقه تغذیه چشمه‌های منطقه هدف با ارتفاع آنها در تاقدیس کارستی شیرگون مطابقت دارد. همچنین، مشخص شد که دریاچه سد شهید عباسپور در تغذیه چشمه سبزآب مشارکت دارد. با این حال، سهم آب دریافتی چشمه سبزآب از منبع یاد شده در مقایسه با آب دریافتی از تاقدیس شیرگون، چندان قابل ملاحظه نمی‌باشد.

واژه‌های کلیدی: چشمه‌های سبزآب و بی‌بی‌تلخون، منابع تغذیه، ارتفاع منطقه تغذیه، خط آب جوی، ایزوتوپ‌های پایدار O^{18} و H^2 .

مقدمه

کارستی ممکن است از یک یا چندین منبع منشأ بگیرند در تجزیه و تحلیل مطالعات منابع آب کارست، شناخت منشأ آب ورودی به سیستم کارستی از اهمیت زیادی در پیچیده‌ترین شرایط، تغذیه می‌تواند هم از حوضه‌های در پیچیده‌ترین شرایط، تغذیه می‌تواند هم از حوضه‌های کارستی مجاور و هم از منابع آب سطحی موجود در منطقه برخوردار است. به طور کلی آبهای ورودی به یک آبخوان

* نویسنده مرتبط: hmbehzad@yahoo.com

(2014)، Filippini et al. (2015)، Kanduč (2015) و Liu et al. (2016) نیز کارهای مشابهی Verbovšek and را انجام داده‌اند.

در این تحقیق سعی بر این بوده است تا با مقایسه محتوی ایزوتوپ‌های پایدار O^{18} و H^2 بارندگی، مخزن سد شهید عباسپور و چشممه‌های موجود در منطقه مورد مطالعه، منابع احتمالی و وضعیت تغذیه دو مورد از مهم‌ترین چشممه‌های کارستی استان خوزستان به نام‌های چشم سبزآب و چشم بی‌بی‌تلخون، مورد ارزیابی قرار گیرد.

مواد و روش مطالعه

به‌منظور به دست آوردن جزئیاتی از وضعیت تغذیه چشممه‌های کارستی سبزآب و بی‌بی‌تلخون از آنها در طول دو دوره تر (بهمن ۹۱) و خشک (تیر ۹۲) نمونه‌برداری ایزوتوپی به عمل آمد. علاوه بر این، از چشممه‌های دیگر موجود در منطقه تغذیه (حوضه کارستی شیرگون) شامل چشممه‌های تینا و آبشکالون نیز نمونه‌برداری به عمل آمد. لازم به ذکر است که نمونه‌ها مستقیماً از محل خروج آب هر چشم برداشت شد. از طرف دیگر، جهت ارزیابی ارتباط هیدرولیکی بین دریاچه سد شهید عباسپور و آبخوان کارستی میزبان چشم سبزآب (آبخوان کمارون)، از این منبع نیز در باره‌های زمانی یاد شده دو دوره نمونه‌برداری ایزوتوپی صورت گرفت. این نمونه‌ها از دریچه‌های خروجی¹ تکیه‌گاه‌های سد برداشت شد. نمونه‌های ایزوتوپی، جهت تعیین مقادیر ایزوتوپ‌های پایدار O^{18} و H^2 به آزمایشگاه هاج ایزوتوپ دانشکده علوم دانشگاه اتاوای کانادا ارسال شدند که نتایج آن در جدول ۱ ارائه شده است. ترکیبات ایزوتوپی اکسیژن و هیدروژن تمام نمونه‌ها بهوسیله دستگاه² IRMS مورد سنجش قرار گرفته است. جهت سنجش ایزوتوپ اکسیژن نمونه‌های آبی از موازنۀ متداول H_2O-CO_2 استفاده شده است (Epstein and Mayeda, 1953). بدین صورت که ابتدا حدود دو میلی لیتر از هر نمونه آبی در دمای استاندارد $25 \pm 1^\circ C$ با گاز CO_2 موازنۀ می‌شود، سپس گاز CO_2

صورت بگیرد. چنین وضعیتی، در مناطق توسعه یافته کارستی ممکن است با ظهور چشممه‌هایی با آبدهی غیرقابل انتظار همراه باشد (Kalantari et al., 2016).

مطالعات هیدرولوژی اغلب برای تشریح هیدرودینامیک آب‌زیرزمینی در محیط‌های کربناتی کارستی کاربناهه کافی نیستند، زیرا که آب‌زیرزمینی هم‌از درون شکستگی‌ها و هم‌از میان کانال‌های کارستی در جریان می‌باشد (Kohfahl et al., 2008). عوامل متعددی از جمله وضعیت زمین‌ساختاری و لیتوژئیکی می‌توانند هیدرودینامیک آب‌های زیرزمینی در محیط‌های کارستی را در مقیاس‌های محلی و ناحیه‌ای کنترل کنند (Scanlon et al., 2002; Ford and Williams, 2007; Fiorillo, 2009; Kalantari et al., 2011) عوامل، برای درک بهتری از نرخ تغذیه و رژیم تغذیه یک سامانه کارستی، ضروری است.

مقایسه ترکیبات ایزوتوپ‌های پایدار اکسیژن (O^{18}) و هیدروژن (H^2) موجود در آب حاصل از بارندگی (چه آب حاصل از باران یا ذوب برف) و آب‌زیرزمینی کارستی می‌تواند یک ابزار ارزشمند برای ارزیابی مکانیسم تغذیه باشد (Barbieri et al., 2005; Yeh et al., 2011) استفاده از این ابزار طرفداران زیادی را در دنیا به خود جلب کرده است. به عنوان مثال، Mandić et al. (2008) توانستند با استفاده از ایزوتوپ‌های پایدار اطلاعات مهمی را در رابطه با میانگین ارتفاع مناطق تغذیه چشممه‌های اصلی حوضه آبریز رودخانه گاکا³ کرواسی به دست آورند. Schwarz et al. (2009) با مقایسه ترکیبات ایزوتوپی بارندگی و تخلیه آب‌زیرزمینی، اختلاط بین بخش‌های مختلف مخازن آب‌زیرزمینی یکی از شناخته شده‌ترین و بزرگ‌ترین مناطق کارستی آلمان را مورد ارزیابی قرار دادند. Marques et al. (2013) با استفاده از ردیاب‌های ایزوتوپی به بررسی مسئله تغذیه و مسیرهای جریان محلی و ناحیه‌ای آب‌زیرزمینی در یک سامانه آهکی در مرکز پرتغال پرداختند. Meng and Liu (2016) خصوصیات ایزوتوپی بارندگی، آب حاصل از ذوب برف، آب رودخانه و منابع آب‌زیرزمینی را مورد مقایسه قرار دادند و به نتایج ارزشمندی دست یافتند. Yuan et al. (2011)، Sappa et al. (2012)، Dun et al.

1. Gacka

2. Drain holes

3. Isotope Ratio Mass Spectrometry

شده‌اند. لازم به ذکر است که جهت ترسیم خط آب جوی محلی از داده‌های ایزوتوپ‌های پایدار O^{18} و H^2 آب باران و برف منطقه مطالعاتی شیمبار (شرکت مهندسی مشاوره آب پژوهان خوزستان، ۱۳۹۲) بهره گرفته شده است.

با عمل برودت‌زنی در خط خلاً تصفیه شده، و پس از آن استخراج می‌شود. برای سنجش ایزوتوپ هیدروژن نیز، از روی فلزی^۱ بهمنظور تولید گاز هیدروژن استفاده شده است (Coleman et al., 1993). این سنجش‌ها با مقادیر O^{18} برای $\pm 2\%$ و مقادیر H^2 برای $\pm 15\%$ تکرار

جدول ۱. نتایج سنجش ایزوتوپ‌های پایدار اکسیژن ۱۸ و دوتریم منابع آبی محدوده مطالعاتی در طول دو دوره نمونه‌برداری بهمن ۹۲ و تیر ۹۱

| ردیف | منابع آبی | بهمن ۹۱ (دوره بارندگی) | تیر ۹۲ (دوره خشک) | دیگر |
|------|------------------------|---------------------------|------------------------|--------|
| | | $\delta^{18}O [\text{‰}]$ | $\delta^2H [\text{‰}]$ | |
| ۱ | چشمه سبزآب | -۵/۱۴ | -۱۹/۴۶ | -۲۸/۶۶ |
| ۲ | چشمه بی‌یی‌تلخون | -۴/۹۸ | -۱۴/۲۱ | -۱۶/۸۲ |
| ۳ | چشمه تینا | -۵/۲۱ | -۲۵/۵۴ | -۲۸/۷۲ |
| ۴ | چشمه آبشکالون | -۵/۲۶ | -۲۵/۶۳ | -۲۸/۹۷ |
| ۵ | دریاچه سد شهید عباسپور | -۵/۱۳ | -۲۱/۶۵ | -۲۴/۷۰ |

وضعیت هیدروژئولوژی و زمین‌شناسی عمومی منطقه مورد مطالعه

سازندا گچساران از بالا و از جوانب محصور شده است. از لحاظ تکتونیکی، چشمه‌های سبزآب و بی‌یی‌تلخون به ترتیب در راستای پهنه‌های خرد شده حاصل از عملکرد گسل‌های راندگی پنهان اندیکا و پابده ظهور یافته‌اند. این ساختارها مانند ساختارهای اصلی کمریند چین خورده- رانده زاگرس با روند تقریبی شمال باخترا- جنوب خاور به صورت عرضی توسط مجموعه‌ای از گسل‌ها با سازو کار غالب راستالغز قطع می‌شوند (نجفی و یساقی، ۱۳۸۸). علاوه بر این، عملکرد ساختاری و هیدروژئومورفولوژیک راندگی‌ها، هیدرودینامیک تعذیه و تخلیه چشمه‌ها را نیز کنترل می‌کند، به طوری که این راندگی‌ها در برابر جریان‌های آب ورودی به آبخوان میزبان چشمه‌ها، به صورت یک سد هیدرولیکی عمل می‌کنند و همچنین جهت جریان عمومی آب‌های زیرزمینی درون حوضه‌ای و برون حوضه‌ای نیز تحت کنترل آنهاست. البته، برقراری ارتباط هیدرولیکی و موازنی آبی بین حوضه‌های کارستی منطقه مورد مطالعه توسط گسل‌های دیگری صورت می‌گیرد. این گسل‌ها، در ارتباط با گسل‌های اصلی و بنیادین منطقه یعنی گسل‌های راستالغر چپبر بالارود و

موقعیت ظهور چشمه سبزآب در کمر شکسته تاقدیس کمارون، در پایین دست سد شهید عباسپور (کارون بک) و در تکیه‌گاه سمت راست آن و موقعیت ظهور چشمه بی‌یی‌تلخون در کمر شکسته تاقدیس پابده (کوه ادیو) و در جناح چپ رودخانه تالوک، در شمال شرق استان خوزستان قرار دارد (محمدی بهزاد، ۱۳۹۰). موقعیت این چشمه‌ها در شکل ۱ به تصویر کشیده شده است. در واقع تاقدیس‌های کمارون و پابده، مهم‌ترین تاقدیس‌های حاوی مخزن آب‌زیرزمینی در منطقه مورد مطالعه می‌باشند. این تاقدیس‌ها دارای روند NW-SE هم‌راستا با روند عمومی رشته کوه‌های زاگرس هستند و در کمریند چین خورده- رانده زاگرس^۲ واقع شده‌اند (نریمانی و همکاران، ۱۳۸۹) و حاجی علی بیگی و همکاران، ۱۳۹۱). بیشتر پوشش سطحی این تاقدیس‌ها را آهک‌های سخت سازنده آسماری (پالائوسن- میوسن) تشکیل داده‌اند. ضخامت آهک آسماری در منطقه مورد مطالعه حدود ۳۰۰ متر می‌باشد که توسط شیل و مارنهای نفوذناپذیر سازنده پابده- گوری (کامپانین- الیگوسن) در زیر و با لیتوولوژی مارن، ژیپس/انیدریت و هالیت (میوسن آغازی)

1. Metallic zinc

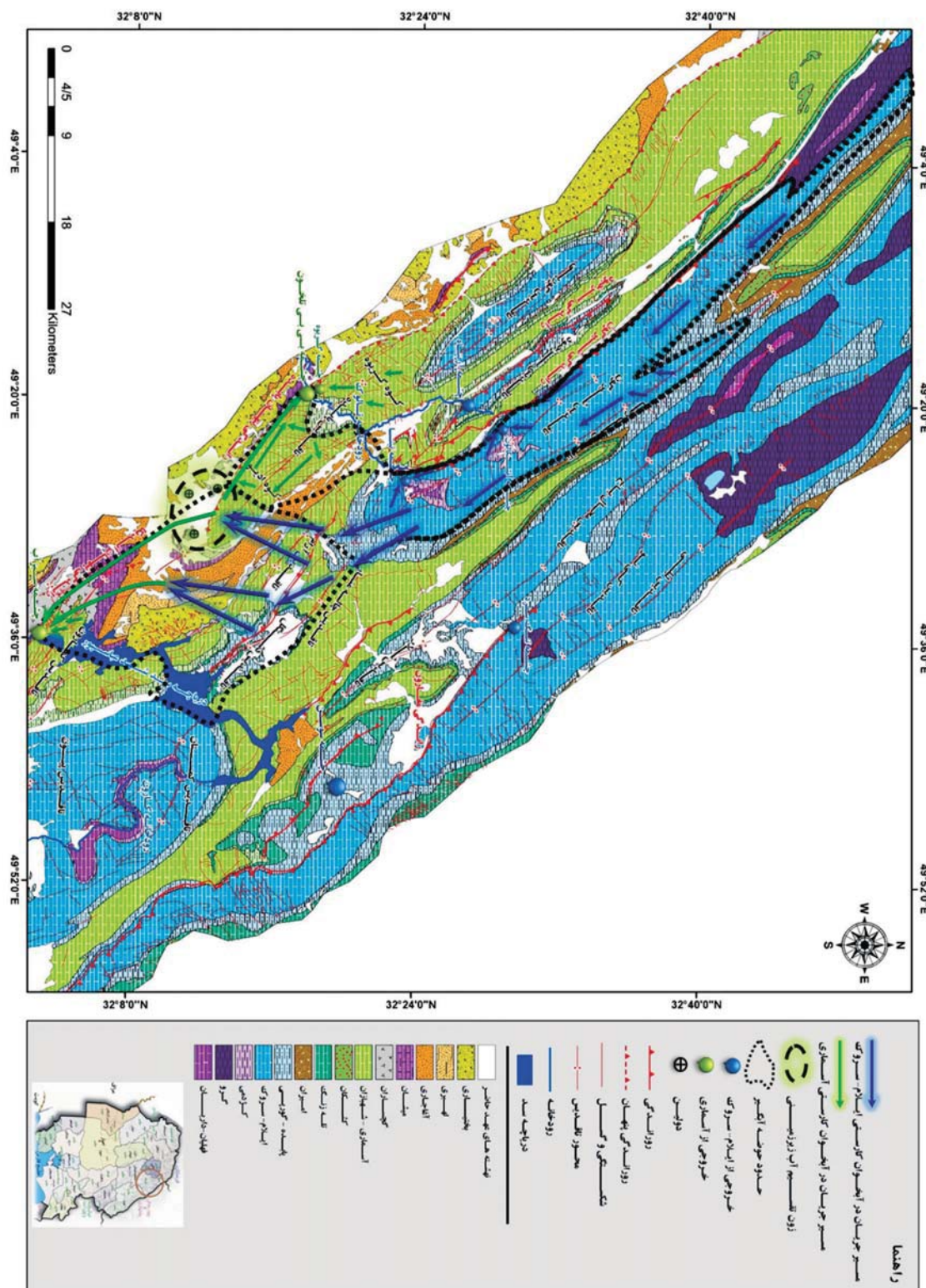
2. Zagros Folded-Thrust Belt

نظر گرفت، آب ناشی از ذوب توده‌های متراکم برف در سطح حوضه کارستی تعذیه‌کننده این چشمه‌ها می‌باشد. با این حال، در طول دوره مورد بررسی در سطح حوضه‌های کارستی میزان چشمه‌های سیزاب و بی‌بی‌تلخون، بارش برفی رخنداده است و این حوضه‌ها برف‌گیر نمی‌باشند. از این‌رو می‌توان نتیجه گرفت که حوضه (های) کارستی مجاور که برف‌گیر هستند می‌توانند در این تعذیه دخالت داشته باشند.

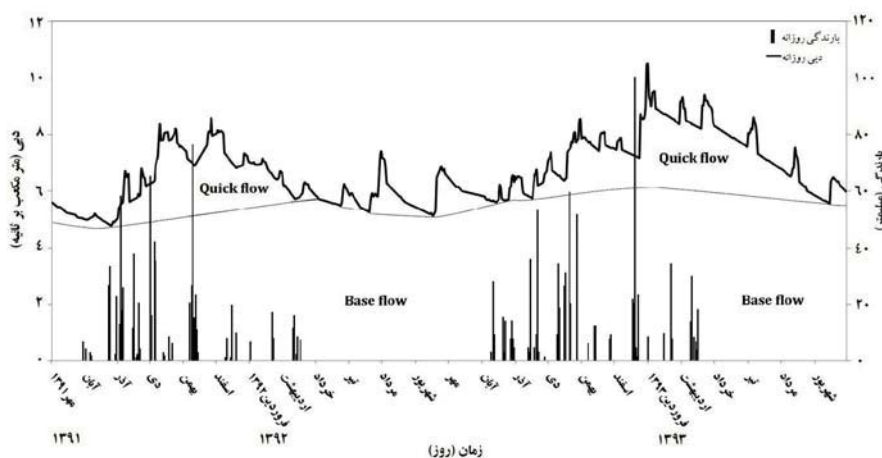
بادر نظر گرفتن شرایط زمین شناسی و تکتونیکی و تخمین بیلان اجمالي، از میان حوضه های کارستی مجاور، حوضه کارستی شیرگون این پتانسیل را دارد که در تغذیه چشم به بی تلخون مشارکت داشته باشد. طبق بررسی های بیلان، تقریباً دو سوم (MCM ۱۳۶) از آب چشمه سبزآب می تواند از این تقدیس کارستی (جدول ۲) و مابقی آن نیز (به طور متوسط حدود MCM ۷۹) می تواند از آب دریاچه پشت سد تغذیه شود (محمدی بهزاد و همکاران، ۱۳۹۴). بعلاوه، سهم تغذیه چشم به بی تلخون از این منبع تغذیه مشترک می تواند چیزی در حدود ۵۰ MCM سطح تقدیس شیرگون که از تراکم شکستگی ها برخوردار است (برخلاف دو تقدیس کمارون و پابده کوه ادیو)، همه ساله دارای بارش به صورت برف می باشد. به طوری که سطح این تقدیس در نیمی از سال پوشیده از برف می باشد. چشم های تینا و آشکالون خروجی های مهم این تقدیس هستند که در راستای یک راندگی مهمی در این ناحیه بنام راندگی شیرگون ظهرور کرده اند. مشخصات هیدرولوژی و هیدرولوژی شیمی این چشم ها به همراه چشم های سبزآب و بی تلخون در جدول ۳ آرائه شده است. متوسط میزان تخلیه تقدیس شیرگون توسط این چشم ها در حدود ۰/۳۸ متر مکعب بر ثانیه (معادل $12/3$ MCM) می باشد (جدول ۲). این رقم تنها حدود پنج درصد از حجم آب نفوذی ناشی از بارش ها را بر سطح این تقدیس تشکیل می دهد. بنابراین، بیلان آبی این تقدیس به مقدار قابل توجهی مثبت می باشد و بنابر قاعده موازن هیدرولوژیکی این آب می تواند به آبخوان های کارستی مجاور که از بیلان آبی منفی برخوردار هستند، انتقال داده شود.

راس-تالغز راست-برایده هستند که با ایجاد فضاهای کششی مناسب می-توانند کمبود آبده‌ی حوضه‌های کارستی کمارون (چشم‌ه سبزآب) و ادیو (چشم‌ه بی‌تلخون) را با پتانسیل آیی زیاد حوضه‌های کارستی مجاور موازن کند.

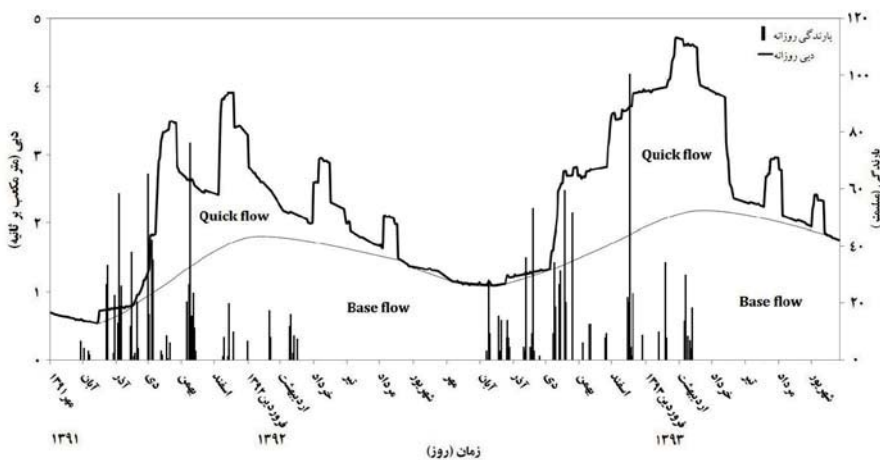
از لحاظ وضعیت هیدروژئولوژی، تغذیه چشمه سبزآب بسیار پیچیده‌تر از چشمه می‌باشد، به طوری که تحقیقات انجام شده تاکنون در شناسایی دقیق منابع تغذیه این چشمه توفیقی نداشته‌اند (شبان، ۱۳۹۰). با توجه به نتایج به دست آمده از بررسی‌های بیلان آبی حوضه‌های کارستی منطقه مورد مطالعه (جدول ۲)، آبخوان کارستی کمارون، میزبان چشمه سبزآب، تنها توانایی تغذیه حدود $7/3$ میلیون مترمکعب از آب این چشمه را دارد و بیلان آبی آن منفی می‌باشد (جدول ۲). از طرف دیگر، آبخوان کارستی ادیو، میزبان چشمه می‌باشد، حدود یک سوم (MCM ۲۲) از آب این چشمه را می‌تواند تأمین کند. بنابراین، انتظار می‌رود بخش بزرگ آب این چشمه‌ها از یک منبع یا منابع دیگری تأمین شود. بررسی هیدروگراف هر دو چشمه نیز شواهد مهمی را در اختیار می‌گذارد. با توجه به هیدروگراف این چشمه‌ها (شکل‌های ۲ و ۳)، در آبدیهی هر دو چشمه پیک‌های مهمی در دوره‌های تر و خشک وجود دارد. فواصل زمانی پیک‌های اصلی شکل گرفته در دوره‌های تر در طول دوره مورد بررسی (سال‌های آبی ۹۱-۹۲ و ۹۲-۹۳) از آغاز بارش‌های متتمرکز تا زمان وقوع، به طور متوسط بیش از یک ماه (بین ۲۹ تا ۳۴ روز برای چشمه سبزآب و ۴۷ تا ۵۱ روز برای چشمه می‌باشد) تخلون از نتایج زمانی برای یک چشمه کارستی بیش از حد نرمال (تقریباً بین یک تا پنج روز) است (کرمی، ۱۳۷۲) و نشان می‌دهد که چشمه‌های کارستی سبزآب و می‌باشد از چشمه‌های آبگیر و سیعی برخوردار هستند و بخش مهمی از تغذیه آنها توسط آب‌هایی تأمین می‌شود که از نقاط دور دست می‌آیند. همچنین در مورد پیک‌های آبدیهی که در طول دوره خشک رخ داده‌اند، مسلم است که بارندگی به طور مستقیم در شکل‌گیری آنها نقش نداشته است، تنها شاهدی که می‌توان برای، وقوع این پیک‌ها در



شکل ۱. نقشه هیدروژئولوژی منطقه مورد مطالعه



شکل ۲. هیدروگراف روزانه چشمه کارستی سبزآب برای سال‌های آبی ۹۱-۹۲ و ۹۲-۹۳ و ۹۳-۹۴



شکل ۳. هیدروگراف روزانه چشمه کارستی بی‌تلخون برای سال‌های آبی ۹۱-۹۲ و ۹۲-۹۳ و ۹۳-۹۴

جدول ۲. بیلان اجمالی حوضه‌های کارستی منطقه مورد مطالعه برای سال آبی ۹۲-۹۳

| | حوضه کارستی | سطح حوضه‌آبگیر (Km ²) | درصد نفوذ | متوسط بارش (mm) | خرسچه اصلی | آب ورودی (MCM ³) | آب خروجی ورودی-خروجی (MCM ³) |
|--------|-------------|-----------------------------------|-----------|-----------------|--------------------------|------------------------------|--|
| -۲۱۴/۷ | کمارون | ۲۲ | ۶۰ | ۶۰۵ | چشمه سبزآب | ۲۲۲۰ | ۷/۳ |
| -۴۹/۴ | ادیو | ۷۲ | ۵۰ | ۵۵۲ | چشمه بی‌تلخون | ۷۱/۲ | ۲۱/۸ |
| +۲۵۴/۴ | شیرگون | ۵۰۸ | ۶۰ | ۸۷۵ | چشمه‌های تینا و آبشکالون | ۱۲/۳ | ۲۶۶/۷ |

MCM³: میلیون مترمکعب

جدول ۳. مشخصات هیدروژئولوژی و هیدروژئوشیمی چشمه‌های کارستی منطقه مورد مطالعه

| چشمه | تیپ غالب جریان | ارتفاع (m) | سطح حوضه‌آبگیر (Km ²) | میزان تخلیه (m ³ /s) | ذخیره دینامیک (MCM/Annum) | EC (µS/cm) | تیپ غالب آب |
|----------|----------------|------------|-----------------------------------|---------------------------------|---------------------------|------------|------------------------------|
| سبزآب | مجرای-انتشاری | ۴۶۰ | ۴۴۸ | ۵/۲-۱۰/۵ | ۱۶۴-۳۳۱ | ۴۷۸-۵۸۲ | HCO ₃ -Ca (Mg) |
| بی‌تلخون | مجرای-انتشاری | ۴۲۰ | ۱۸۵ | ۱/۴-۵ | ۴۴-۱۵۸ | ۴۱۵-۱۲۷۵ | Cl-Na (HCO ₃ -Ca) |
| تینا | انتشاری | ۸۱۶ | ۱۴ | ۰/۱۰-۳۵ | ۳-۱۱ | ۴۵۴-۵۶۸ | HCO ₃ -Ca |
| آبشکالون | انتشاری | ۸۶۷ | ۹ | ۰/۱۰-۲ | ۳-۶ | ۴۶۲-۵۸۱ | HCO ₃ -Ca |

جهانی آرایش بافتهدند (شکل ۴). همان طور که در شکل ۴ نشان داده شده است در این مرحله، چشمehای سبزآب و بی‌بی‌تلخون به همراه چشمehای تینا و آبشکالون از یک روند خطی تبعیت می‌کنند، به طوری که چشمehای تینا و آبشکالون (به عنوان یک عضو انتهایی)، در ابتدای این خط و بر روی آن قرار گرفته‌اند و چشمه بی‌بی‌تلخون نیز (به عنوان یک عضو انتهایی دیگر) در انتهای آن واقع شده است. چشمه سبزآب نیز در میانه این خط اختلاطی قرار دارد. بر اساس نتایج مرحله دوم نمونه‌برداری ایزوتوپی (تیر ۹۲)، روند خطی بین چشمehای یاد شده تکرار شده است (شکل ۵). البته همان‌گونه که در شکل ۵ مشاهده می‌شود، روند خطی بین چشمehای سبزآب و بی‌بی‌تلخون در این مرحله، اندکی از هم انحراف پیدا کرده است، به طوری که چشمه سبزآب یک روند خطی جداگانه با دریاچه سد شهید عباسپور و حوضه کارستی شیرگون تشکیل داده است. روند خطی بین چشمehای مذبور نشان می‌دهد که احتمالاً هر چهار چشمه از یک منبع آب واحد^۱ تغذیه می‌شوند. یا به عبارت دیگر می‌توان گفت که تمامی چشمehا از یک حوضه کارستی (یعنی حوضه کارستی شیرگون) با شرایط اقلیمی و تغذیه‌ای یکسان منشأ می‌گیرند. جهت ارزیابی این موضوع، ارتقای منطقه تغذیه چشمehای سبزآب و بی‌بی‌تلخون با استفاده از دو روش گرادیان ایزوتوپی ارتفاعی و بهره‌گیری از نقشه‌های زمین‌شناسی و توپوگرافی تخمین زده شد که نتایج آن در جدول ۴ ارائه شده است. لازم به توضیح است که گرادیان ارتفاعی ایزوتوپی را می‌توان با استفاده از نمونه‌های بارندگی که از ارتفاعات مختلف در منطقه مورد مطالعه جمع‌آوری می‌شود، به دست آورد. برای این منظور، مقادیر ایزوتوپ اکسیژن ۱۸ در مقایسه با دوتیریم بیشتر مورد استفاده قرار می‌گیرد (Azzaz et al., 2008).

گرادیان ارتفاعی ایزوتوپی به دست آمده برای این تحقیق، با دیگر گرادیان‌های گزارش شده برای نواحی کوهستانی زاگرس مشابه می‌باشد (Karimi et al., 2005). با این حال، استفاده غیرمعقول از متوسط گرادیان ایزوتوپی برای یک مقیاس ناحیه‌ای می‌تواند به اشتباها مهمنی در تخمین ارتفاع تغذیه منجر شود (Lastennet, 1994).

1. End member

2. Parent water

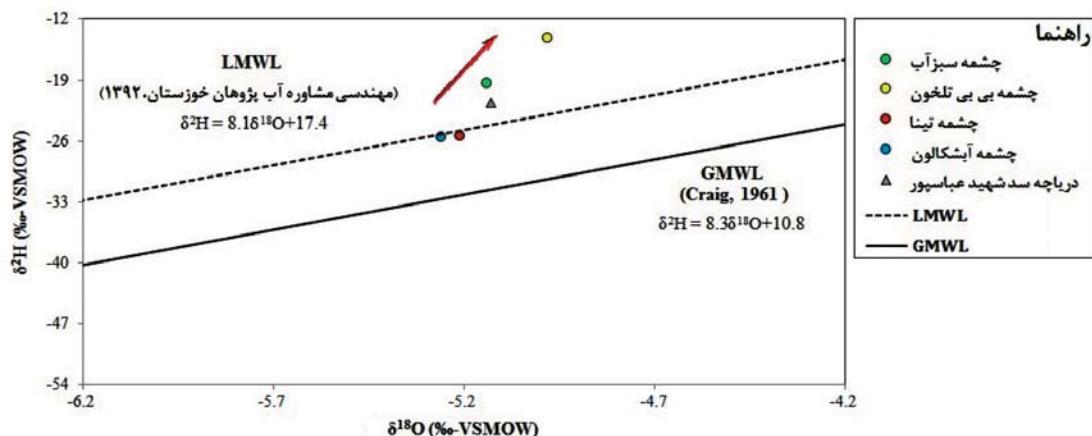
بر اساس بررسی‌های تکتونیکی و شواهد مورفولوژیکی که در فوق اشاره شد، گسل‌های امتدادلغز ناشی از عملکرد پهنه‌های برشی ایذه و بالارود می‌توانند عامل موازن‌های آبی بین آبخوان‌های کارستی منطقه مورد مطالعه باشند. با در نظر گرفتن این شواهد، مسیرهای احتمالی جریان‌های محلی و ناحیه‌ایی مشارکت دهنده در تغذیه چشمehای سبزآب و بی‌بی‌تلخون تعیین شد (شکل ۱). بر اساس این شواهد، حداقل دو مسیر اصلی به صورت جریان ناحیه‌ای می‌توانند در تغذیه چشمه سبزآب مشارکت داشته باشند (شیان، ۱۳۹۰ و محمدی بهزاد و همکاران، ۱۳۹۴). یکی از این مسیرها با مسیر تغذیه چشمه بی‌بی‌تلخون مشترک و مسیر دیگر مستقل از آن می‌باشد. بررسی‌های صورت گرفته نشان داده است که هر چند مسیر غیرمشترک در مقایسه با مسیر مشترک، مسافت بیشتری را شامل می‌شود ولی به علت واقع شدن در محل تلاقی پهنه‌های برشی ایذه و بالارود، از خردشده‌گی بیشتر و در نتیجه از مجاری عرضی‌تری برخوردار است (محمدی بهزاد و همکاران، ۱۳۹۴). همچنین، جریان آب زیرزمینی که از آبخوان کارستی شیرگون به سمت آبخوان‌های کمارون و ادیو انتقال می‌یابد، احتمالاً پس از ورود به این آبخوان‌ها، توسط راندگی‌های پنهان اندیکا و پابده سد می‌شود و سپس در فصل مشترک سازند آهکی- دولومیتی آسماری با لایه‌های گچی و نمکی سازند گچساران به سمت نقاط خروجی (چشمehا) هدایت می‌شود. به همین دلیل میزان املح (که در این تحقیق با هدایت الکتریکی (EC) سنجیده شده است) و تیپ غالب آب چشمehای یاد شده تحت تأثیر لایه‌های گچی و نمکی مذبور قرار می‌گیرد. این مسئله بالاخص در مورد چشمه بی‌بی‌تلخون صادق است، به طوری که متوسط هدایت الکتریکی آب این چشمه بیش از ۱۰۰۰ $\mu\text{S/cm}$ و تیپ غالب آب آن نیز $\text{Cl-Na} - \text{Ca} - \text{HCO}_3$ می‌باشد (جدول ۳).

بحث

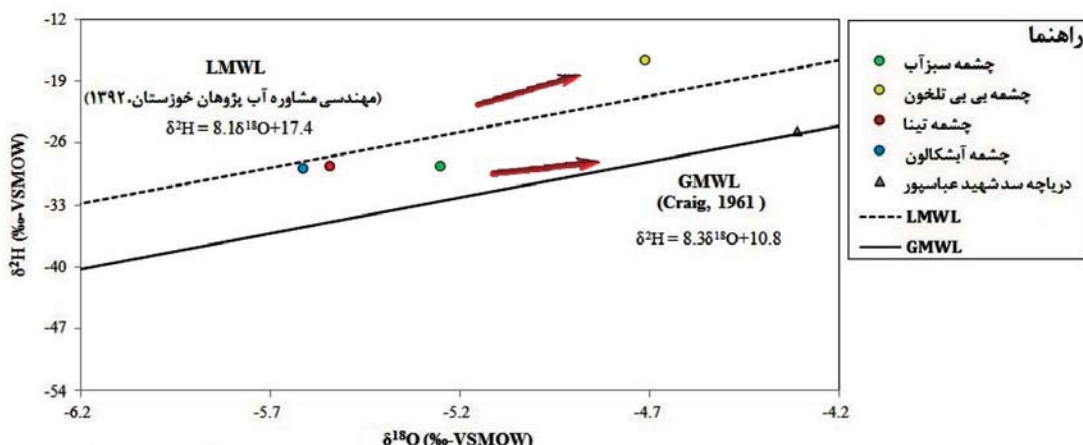
بر اساس نتایج آنالیز ایزوتوپهای $\text{H}^{2\text{H}}$ و O^{18} در مرحله اول مطالعات ایزوتوپی (بهمن ۹۱)، تمامی نمونه‌های آب چشمehا و همین‌طور نمونه آب دریاچه سد در فاصله نزدیک به خط آب جوی محلی و به دور از خط آب جوی

می‌باشد. بدین‌ترتیب، ارتفاعات تغذیه تخمین زده شده به روش یاد شده، حتماً بایستی توسط معیارهای زمین‌شناسی و توپوگرافی نیز کنترل شود (Azzaz et al., 2008).

استفاده از این گرادیان‌ها، به خاطر پیچیدگی‌های توپوگرافیکی و ساختارهای زمین‌شناسی و همچنین به دلیل دقت کمی که در تعیین پارامترهای هیدرودینامیکی (مانند نرخ جریان، نفوذپذیری، اندازه مخزن) وجود دارد، همیشه دشوار



شکل ۴. نمودار ایزوتوپ‌های پایدار اکسیژن ۱۸ و دوتیریم چشمه‌های کارستی سبزآب و بی‌تلخون با منابع آبی درگیر در تغذیه آنها در دوره اول نمونه‌برداری‌های ایزوتوپی



شکل ۵. نمودار ایزوتوپ‌های پایدار اکسیژن ۱۸ و دوتیریم چشمه‌های کارستی سبزآب و بی‌تلخون با منابع آبی درگیر در تغذیه آنها در دوره دوم نمونه‌برداری‌های ایزوتوپی

تغذیه چشمه‌های Tina و آشکالون در تاقدیس شیرگون تقریباً نزدیک است. بنابراین، می‌توان نتیجه گرفت که حوضه‌های میزبان چشمه‌ها تنها جوابگوی آبدی آنها نمی‌باشند و تاقدیس کارستی مجاور یعنی تاقدیس شیرگون که از ارتفاع بیشتری برخوردار است و با مقدار تخمین زده شده از هر دو روش تطابق دارد می‌تواند در تغذیه این چشمه‌ها دخالت داشته باشد.

بر اساس نتایج حاصل از روش‌های پاد شده در جدول ۴، حداقل ارتفاع تغذیه چشمه‌های سبزآب و بی‌تلخون بایستی به ترتیب بیش از ۱۶۵۰ و ۱۷۳۵ متر باشد. این در حالی است که متوسط ارتفاع تاقدیس میزبان چشمه سبزآب یعنی تاقدیس کمارون برابر با ۸۹۰ متر و متوسط ارتفاع تاقدیس میزبان چشمه بی‌تلخون یعنی تاقدیس پابده برابر با ۱۲۲۸ متر می‌باشد. از طرفی، ارتفاع تغذیه این چشمه‌ها با ارتفاع

جدول ۴. تخمین متوسط ارتفاع منطقه تغذیه چشمه‌های منطقه مورد مطالعه با استفاده از مقادیر O^{18}

| ردیف | چشم | ارتفاع منطقه تغذیه با استفاده از نقشه‌ها (m asl) | ارتفاع منطقه تغذیه با استفاده از گرادیان. ($m\ O^{18}/Alt.$) |
|------|-------------|--|--|
| ۱ | سبزآب | ۲۰۲۵ | ۱۷۳۵ |
| ۲ | بی‌بی‌تلخون | ۱۸۸۵ | ۱۶۵۱ |
| ۳ | تبینا | ۱۷۹۰ | ۱۷۷۸ |
| ۴ | آبشکالون | ۱۸۳۵ | ۱۷۹۲ |

به خاطر همین موارد است که موقعیت چشمه‌های سبزآب و بی‌بی‌تلخون نسبت به خط آب جوی محلی دارای انحراف می‌باشد. با این حال، ترکیب ایزوتوپ‌های H^2 و O^{18} هر کدام از چشمه‌ها با یکدیگر وجود دارد. به طوری که چشمه‌های تبینا و آبشکالون نسبت به چشمه‌های سبزآب و بی‌بی‌تلخون تهی شدگی بیشتری نشان می‌دهند که این را می‌توان چنین توجیه کند: ۱- ارتفاع ظهور بالاتر چشمه‌های تبینا و آبشکالون نسبت به چشمه‌های سبزآب و بی‌بی‌تلخون (جدول ۳)، ۲- چشمه‌های تبینا و آبشکالون در فاصله نزدیکتری به منبع تغذیه قرار دارند و عمق چرخش^۱ آب درون آبخوان کارستی تغذیه‌کننده این چشمه‌ها در مقایسه با چشمه‌های سبزآب و بی‌بی‌تلخون کمتر است، از این‌رو با فاصله زمانی کمتری هم به بارندگی پاسخ می‌دهند، ۳- تنها یک منبع (یعنی فقط حوضه کارستی شیرگون) در تغذیه آنها دخالت دارد، به همین دلیل اختلاط و تفکیک ایزوتوپی کمتری در آبخوان این چشمه‌ها اتفاق می‌افتد. اما آب‌های مشارکت دهنده در تغذیه چشمه‌های سبزآب و بی‌بی‌تلخون علاوه بر چرخش در درون آبخوان آهکی شیرگون و طی کردن مسیر طولانی، بایستی از درون چندین لایه سازندی (لایه‌های شیلی و مارنی سازندهای پابده-گوری) عبور کند تا به آبخوان آهکی-دولومیتی میزبان چشمه‌ها، وارد شوند. بنابراین، واکنش بین آب و سنگ به دلیل طولانی بودن مسیر جریان، می‌تواند از جمله فاکتورهای مؤثر در افزایش تبادلات ایزوتوپی آب‌های تغذیه‌کننده این چشمه‌ها باشد (Cartwright et al., 2012; Kanduč et al., 2014; Verbovšek and Kanduč, 2015; Mustafa et al., 2016).

ضعیف آن با چشمه سبزآب کمک کرده است. در حقیقت، ترکیب ایزوتوپی آب‌زیرزمینی که از حوضه کارستی شیرگون در تغذیه چشمه سبزآب مشارکت می‌کند در این دوره از سال (فصل تر) نسبت به ترکیب ایزوتوپی آب مخزن سد غنی‌تر است و این غنی‌شدنی می‌تواند بیشتر در ارتباط با تبادلات ایزوتوپی (به‌ویژه در مورد چشمه بی‌بی‌تلخون) شود.

1. Circulation depth

با توجه به شباهت‌های ذکر شده، تفاوت‌هایی نیز در ترکیب ایزوتوپ‌های پایدار H^2 و O^{18} هر کدام از چشمه‌ها با یکدیگر وجود دارد. به طوری که چشمه‌های تبینا و آبشکالون نسبت به چشمه‌های سبزآب و بی‌بی‌تلخون تهی شدگی بیشتری نشان می‌دهند که این را می‌توان چنین توجیه کند: ۱- ارتفاع ظهور بالاتر چشمه‌های تبینا و آبشکالون نسبت به چشمه‌های سبزآب و بی‌بی‌تلخون (جدول ۳)، ۲- چشمه‌های تبینا و آبشکالون در فاصله نزدیکتری به منبع تغذیه قرار دارند و عمق چرخش^۱ آب درون آبخوان کارستی تغذیه‌کننده این چشمه‌ها در مقایسه با چشمه‌های سبزآب و بی‌بی‌تلخون کمتر است، از این‌رو با فاصله زمانی کمتری هم به بارندگی پاسخ می‌دهند، ۳- تنها یک منبع (یعنی فقط حوضه کارستی شیرگون) در تغذیه آنها دخالت دارد، به همین دلیل اختلاط و تفکیک ایزوتوپی کمتری در آبخوان این چشمه‌ها اتفاق می‌افتد. اما آب‌های مشارکت دهنده در تغذیه چشمه‌های سبزآب و بی‌بی‌تلخون علاوه بر چرخش در درون آبخوان آهکی شیرگون و طی کردن مسیر طولانی، بایستی از درون چندین لایه سازندی (لایه‌های شیلی و مارنی سازندهای پابده-گوری) عبور کند تا به آبخوان آهکی-دولومیتی میزبان چشمه‌ها، وارد شوند. بنابراین، واکنش بین آب و سنگ به دلیل طولانی بودن مسیر جریان، می‌تواند از جمله فاکتورهای مؤثر در افزایش تبادلات ایزوتوپی آب‌های تغذیه‌کننده این چشمه‌ها باشد (Cartwright et al., 2012; Kanduč et al., 2014; Verbovšek and Kanduč, 2015; Mustafa et al., 2016). از طرفی، واکنش آب‌های تغذیه‌ای با لایه‌های گچی، نمکی و مارنی سازند گچساران که در تماس مستقیم با آبخوان میزبان هر دو چشمه قرار دارند نیز می‌تواند منجر به افزایش تبادلات ایزوتوپی (به‌ویژه در مورد چشمه بی‌بی‌تلخون) شود.

به محلول رقیق شده و یا مقدار 5^{18}O در آب‌های سطحی و زیرزمینی و آب اختلاطی می‌باشد.

با توجه به نتایج حاصل از محاسبات در مرحله دوم مطالعات ایزوتوبی (تیر ۹۲)، تقریباً دو سوم (68 درصد) از سهم تغذیه چشممه سبزآب مربوط به ورودی زیرزمینی از حوضه کارستی شیرگون و یک سوم (32 درصد) از آن نیز مربوط به ورودی سطحی از دریاچه سد می‌باشد. بنابراین، ملاحظه می‌شود که این نتایج به نتایج حاصل از مطالعات بیلان که در فوق نیز بدان اشاره شد، نزدیک است. لازم به توضیح است که در تعیین درصد تغذیه چشممه سبزآب، میانگینی از ترکیب ایزوتوب پایدار 5^{18}O چشممه‌های تینا و آشکالون به عنوان ترکیب ایزوتوبی مؤلفه ورودی آب زیرزمینی در نظر گرفته شده است. همچنین لازم به ذکر است که در مرحله اول مطالعات ایزوتوبی (بهمن ۹۱) به دلیل سبکتر (تهی‌تر) بودن مقادیر 5^{18}O آب‌های زیرزمینی و سطحی مشارکت دهنده در تغذیه چشممه سبزآب که دلایل آن در فوق اشاره شد، تخمین سهم تغذیه چشممه از منابع یاد شده امکان پذیر نبوده است. در حقیقت، در این دوره ترکیب ایزوتوبی آب چشممه ما بین منابع تغذیه‌کننده آن قرار نداشته است و چشممه خود یک عضو انتهایی را تشکیل داده است.

دومین دلیل تهی‌شدنگی بیشتر چشممه سبزآب نسبت به چشممه بی‌تلخون، می‌تواند به درصد تغذیه بیشتر چشممه سبزآب از منابع تغذیه مشترک آن با چشممه بی‌تلخون (یعنی حوضه کارستی شیرگون) مربوط شود. سومین دلیل، می‌تواند درصد جریان سریع بیشتر چشممه سبزآب نسبت به چشممه بی‌تلخون باشد (شبان، ۱۳۹۰). از این موضوع، می‌توان انتظار داشت که سرعت انتقال جریان آب زیرزمینی در حوضه‌آبگیر چشممه سبزآب نسبت به حوضه‌آبگیر چشممه بی‌تلخون بیشتر است و این بر اساس شواهد تکتونیکی و ژئومورفولوژیکی که در فوق ذکر شد، می‌تواند به دلیل توسعه بیشتر مجاری کارستی در حوضه آبگیر چشممه سبزآب باشد. در نهایت چهارمین علت، می‌تواند به تبادل ایزوتوبی بیشتر چشممه بی‌تلخون در مقایسه با چشممه سبزآب، بنا به دلیل تأثیرپذیری بیشتر از لایه‌های تبخیری سازند گچساران که در

آب-سنگ به دلیل مسیر جریان طولانی باشد که آب زیرزمینی باستی طی کند تا به حوضه کارستی میزبان چشممه‌های سبزآب و بی‌تلخون برسد. بنابراین، در طول این مسیر، فرصت به اندازه کافی وجود دارد تا آب چرخش یافته در درون سیستم با سنگ‌های میزبان (سازندهای ایلام- سروک و آسماری) محیط پیرامونی خود تبادلات ایزوتوبی داشته باشد. ذکر این نکته لازم است که اثر تبخیر در آب زیرزمینی حوضه کارستی شیرگون می‌تواند بر تغذیه چشممه‌ها تأثیر داشته باشد و آن هم مربوط به تبخیر در حین ریزش نزولات جوی و یا آب ناشی از ذوب برف است که به درون سامانه کارستی شیرگون نفوذ می‌کند اما این مسئله برای چشممه‌های منطقه مبدأ یعنی چشممه‌های تینا و شیرگون نیز یکسان است. در مرحله دوم مطالعات ایزوتوبی (تیر ۹۲) به دلیل کاهش حجم آب ورودی از حوضه کارستی شیرگون و به دنبال آن افزایش سهم نسبی دریاچه سد در تغذیه چشممه سبزآب، یک همبستگی قوی تری بین این دو منبع شکل گرفته است (شکل ۵). در این دوره، به دلیل کاهش مشارکت سرچشممه‌های تغذیه‌کننده دریاچه سد به دنبال قطع بارش‌ها از یکسو و افزایش میزان تبخیر از سطح آب دریاچه سد از سوی دیگر، یک غنی‌شدنگی ایزوتوبی در آب این منبع اتفاق افتاده است که این اثر غنی‌شدنگی را می‌توان بهوضوح در نمونه ایزوتوبی چشممه سبزآب مشاهده کرد. به بیان روشن‌تر، در این دوره چشممه سبزآب بر روی خط اختلاطی با دو عضو انتهایی واقع شده است: یک عضو انتهایی با ترکیب ایزوتوبی سبکتر از چشممه سبزآب، مربوط است به چشممه‌های آشکالون و تینا که به عنوان مؤلفه ورودی آب زیرزمینی از حوضه کارستی شیرگون می‌باشد و یک عضو انتهایی با ترکیب ایزوتوبی سنگین‌تر از چشممه سبزآب که به مؤلفه آب سطحی ورودی از دریاچه سد مربوط می‌شود. بر این اساس می‌توان با استفاده از رابطه ذیل، درصد تغذیه چشممه کارستی سبزآب را از ورودی‌های سطحی و زیرزمینی یاد شده تخمین زد:

$$C_{\text{mix}} = FC_{\text{gw}} + (1-F) CS_w \quad (1)$$

که در آن:

F و $(1-F)$ ، نشان‌دهنده‌ی سهم آب‌های سطحی و زیرزمینی در آب اختلاطی و C ، نشان‌دهنده‌ی غلظت مربوط

همخوانی ندارد و در مقابل با ارتفاع منطقه تغذیه آبخوان کارستی شیرگون دارای مطابقت می‌باشد. علاوه بر این، نتایج بررسی‌های ایزوتوبی نشان می‌دهد که چشمۀ سبزآب علاوه بر تغذیه از منبع یاد شده با دریاچه سد شهید عباسپور نیز دارای یک ارتباط هیدرولیکی می‌باشد. بنابراین، سعی شد تا با استفاده از ایزوتوب پایدار O¹⁸ سهم تغذیه چشمۀ سبزآب از دریاچه سد و از آبخوان کارستی شیرگون تخمین زده شود. بر این اساس، تقریباً یک سوم از آب چشمۀ می‌تواند از دریاچه سد تأمین شود ولی بخش بزرگ تغذیه آن از آبخوان کارستی شیرگون می‌باشد. در حقیقت، آبخوان کارستی شیرگون نقش اصلی را در تغذیه چشمۀ سبزآب و همین‌طور چشمۀ بی‌تلخون دارد. همچنین، با اینکه شرایط اقلیمی و مکانیسم تغذیه چشمۀ‌های یاد شده مشابه هم می‌باشد، اما بررسی داده‌های ایزوتوبی نشان می‌دهد که یک تفاوت مشخص بین ترکیب ایزوتوب‌های پایدار H² و O¹⁸ هر دو چشمۀ وجود دارد که این می‌تواند به تفاوت در وضعیت هیدرودینامیک تخلیه آنها برگردد.

قدرتانی

بدین‌وسیله از حمایت‌ها و مساعدت‌های مالی مدیریت محترم دفتر پژوهش‌های کاربردی سازمان آب و برق خوزستان، و همچنین همکاری‌های گروه زمین‌شناسی دانشگاه شهید چمران در انجام این پژوهش، تشکر و قدردانی می‌شود.

منابع

- حاجی علی بیگی، ح.، علوی، س.ا.، افتخار نژاد، ج. و مختاری، م.، ۱۳۹۱. تحلیل هندسی چین‌خوردگی مرتبط با گسلش مدفون فعال بالارود، مطالعه موردنی: تاقدیس سیاه کوه، جنوب باختر ایران. فصلنامه زمین‌شناسی ایران، ۲۱، ۳۹-۴۵.
- شبان، م.، ۱۳۹۰. تعیین حوضه آبریز و منابع تأمین آب چشمۀ سبزآب (شمال شرق مسجد سلیمان). پایان‌نامه کارشناسی ارشد، دانشکده علوم زمین، دانشگاه شهید چمران اهواز، ۱۷۴.
- شرکت مهندسی مشاوره آب پژوهان خوزستان، ۱۳۹۲. بررسی منابع آب کارستی و ارتباط هیدرولیکی در

بالا نیز بدان اشاره شد، برگردد. چرا که لایه‌های تبخیری یاد شده در کنタکت مستقیم با کanal اصلی جریان آب‌بازمی‌نی ورودی به آبخوان کارستی میزبان چشمۀ بی‌تلخون قرار دارند (Kalantari et al., 2016).

نتیجه‌گیری

نتایج بیلان اجمالی حوضه‌های کارستی منطقه مورد مطالعه نشان می‌دهد که سطح توپوگرافیکی آبخوان‌های کارستی میزبان چشمۀ‌های سبزآب و بی‌تلخون بسیار کمتر از مقدار لازم برای تأمین آب خروجی این چشمۀ‌ها است. از طرف دیگر، در مجاورت این تاقدیس‌ها آبخوان‌های مانند آبخوان کارستی شیرگون وجود دارد که سطح توپوگرافیکی شان بسیار بیشتر از مقدار لازم برای تأمین آب چشمۀ‌های خروجی از آنهاست و می‌توانند کمبود آبدی چشمۀ‌های منطقه هدف (منطقه تخلیه) را جبران کنند. از طرف دیگر، وقوع پیکه‌های آبدی مهم و با زمان تأخیر طولانی (به‌طور متوسط بیش از یک ماه) در طول دوره‌های ترو خشک در هیدرولگراف چشمۀ‌های سبزآب و بی‌تلخون نشان می‌دهد که این چشمۀ‌ها از حوضه‌آبگیر و سیعی برخوردار هستند و بخش مهمی از تغذیه آنها از آب‌های تأمین می‌شود که از ذوب برف منشأ می‌گیرند و از نقاط دور دست می‌آیند و از آنجا که حوضه‌های کارستی میزبان آنها برف‌گیر نمی‌باشند در نتیجه انتظار می‌رود حوضه (های) کارستی مجاور که برف‌گیر هستند در این دخالت داشته باشند. جهت بررسی این موضوع، ایزوتوب‌های پایدار H² و O¹⁸ چشمۀ‌های منطقه هدف (شامل چشمۀ‌های سبزآب و بی‌تلخون) و دو چشمۀ موجود در منطقه مبدأ (منطقه تغذیه) برای دو دوره‌تر و خشک نمونه‌برداری موردنیزیابی قرار گرفتند. نتایج حاصل از این بررسی‌ها نشان می‌دهد که یک ارتباط خطی قوی بین آبخوان‌های کارستی میزبان چشمۀ‌های سبزآب و بی‌تلخون با آبخوان کارستی میزبان چشمۀ‌های منطقه مبدأ (آبخوان کارستی شیرگون) وجود دارد. همچنین بر اساس داده‌های ایزوتوبی و نقشه‌های زمین‌شناسی و توپوگرافی، مشخص شد که ارتفاع منطقه تغذیه چشمۀ‌های یاد شده با ارتفاع متوسط حوضه‌های میزبان خود، یعنی حوضه‌های کارستی کمارون و پابده

- Coleman, M., Eggenkamp, H., Matray, J.M. and Pallant, M., 1993. Reduction of water with zinc for hydrogen analyses. *Analytical Chemistry*, 54(6), 993-995.
- Dun, Y., Tang, C. and Shen, Y., 2014. Identifying interactions between river water and groundwater in the North China Plain using multiple tracers. *Environmental Earth Sciences*, 72(1), 99-110.
- Epstein, S. and Mayeda, T.K., 1953. Variations of the $^{18}\text{O}/^{16}\text{O}$ ratio in natural waters. *Geochimica et Cosmochimica Acta*, 4(213), 1702-1703.
- Filippini, M., Stumpp, C., Nijenhuis, I., Richnow, H.H. and Gargini, A., 2015. Evaluation of aquifer recharge and vulnerability in an alluvial lowland using environmental tracers. *Journal of Hydrology*, 529, 1657-1668.
- Fiorillo, F., 2009. Spring hydrographs as indicators of droughts in a karst environment. *Journal of Hydrology*, 373, 290-301.
- Ford, D. and Williams, P., 2007. Karst Hydrogeology and Geomorphology. Chapman and Hall, London.
- Kalantari, N., Ghafari, H.R., Keshavarzi, M.R. and Mallaei, M.R., 2011. Factors impacting on flow pattern in the Shimbar karstic area in the southwest of Iran. 9th conference on limestone hydrogeology, 257-260, Besancon, France.
- Kalantari, N., Charchi, A., Mohammadi-Behzad, H.R. and Nadri, A., 2016. Bibitalkhone and Gariveh Springs paradox symbol of the Pabdeh karstic anticline in southwest Iran. *Arabian Journal of Geosciences*, 9(2), 1-8.
- Karimi, H., Raeisi, E. and Bakalowicz, M., 2005. Characterising the main karst aquifers of the Alvand basin, northwest of Zagros, Iran, by a hydrogeochemical approach. *Hydrogeology Journal*, 13, 787-799.
- محدوده‌های کوشک، شیمبار و چشمه بی‌بی‌تلخون، شمال شرق استان خوزستان. کارفرما: سازمان آب و برق خوزستان.
- کرمی، غ.، ۱۳۷۲. بررسی رابطه بین عوامل مؤثر بر نفوذ آب و خصوصیات فیزیکی و شیمیایی چشمه‌های کارستی کوههای گر و برم فیروز. پایان نامه کارشناسی ارشد آبشناسی، بخش زمین‌شناسی، دانشگاه شیراز، ۳۵۵.
- محمدی بهزاد، ح. ر.، ۱۳۹۰. شناسایی منشأ تغذیه و بررسی خصوصیات فیزیکو-شیمیایی چشمه کارستی بی‌بی‌تلخون. پایان نامه کارشناسی ارشد، دانشکده علوم زمین، دانشگاه شهید چمران اهواز، ۱۹۳.
- محمدی بهزاد، ح. ر.، چرچی، ع. و کلانتری، ن.، ۱۳۹۴. بررسی رفتار هیدرولوژیکی چشمه کارستی سبزآب، شمال شرق استان خوزستان. *فصلنامه زمین‌شناسی کاربردی پیشرفته*، ۱۵، ۱۰-۱۹.
- نجفی، م. و یساقی، ع.، ۱۳۸۸. شواهد ساختاری از عملکرد گسل عرضی نظام آباد بر پیشانی کمربند چین خورده-رانده زاگرس. *فصلنامه زمین‌شناسی ایران*، ۱۰، ۳۷-۴۵.
- نریمانی، ح.، یساقی، ع. و حسن گودرزی، ح.، ۱۳۸۹. تحلیل الگوی چین خورده‌گی تاقدیس میش در زاگرس چین خورده-رانده. *فصلنامه زمین‌شناسی ایران*، ۱۵، ۳۹-۵۰.
- Azzaz, H., Cherchali, M., Meddi, M., Houha, B., Puig, J.M. and Achachi, A., 2008. The use of environmental isotopic and hydrochemical tracers to characterize the functioning of karst systems in the Tlemcen Mountains, northwest Algeria. *Journal of Hydrogeology*, 16(3), 531-546.
- Barbieri, M., Boschetti, T., Petitta, M. and Tallini, M., 2005. Stable isotopes (^2H , ^{18}O and $^{87}\text{Sr}/^{86}\text{Sr}$) and hydrochemistry monitoring for groundwater hydrodynamics analysis in a karst aquifer (Gran Sasso, Central Italy). *Applied Geochemistry Journal*, 20(11), 2063-2081.
- Cartwright, I., Weaver, T.R., Cendón, D.I., Fifield, L.K., Tweed, S.O., Petrides, B. and Swane, I., 2012. Constraining groundwater flow, residence times, inter-aquifer mixing and aquifer properties using environmental isotopes in the southeast Murray Basin, Australia. *Applied Geochemistry Journal*, 27(9), 1698-1709.

- Kanduč, T., Grassa, F., McIntosh, J., Stibilj, V., Ulrich-Supovec, M., Supovec, I. and Jamnikar, S., 2014. A geochemical and stable isotope investigation of groundwater/surface-water interactions in the Velenje Basin, Slovenia. *Journal of Hydrogeology*, 22(4), 971-984.
- Kohfahl, C., Sprenger, C. B., Herrera, J., Meyerc, H., Fernandez Chacon d. F., and Pekdeger, A., 2008. Recharge sources and hydrogeochemical evolution of groundwater in semiarid and karstic environments: A field study in the Granada Basin (Southern Spain). *Applied Geochemistry Journal*, 23, 846-862.
- Lastennet, R., 1994. Role of the unsaturated zone in the functioning of karstic aquifers: approach by physical, chemical and isotopic studies of inlet signals and spring outlets in the Ventoux Mountain (Vaucluse). PhD Thesis, Avignon University, France, 116-117.
- Liu, J., Chen, Z., Zhang, Y., Li, Z., Zhang, L. and Liu, F., 2016. Stable isotope evidences on sources and mechanisms of groundwater recharge in Hohhot basin, China. *Environmental Earth Sciences*, 75(5), 1-10.
- Mandić, M., Bojić, D., Roller-Lutz, Z., Lutz, H.O. and Krajevar Bronić, I., 2008. Note on the spring region of Gacka River (Croatia). *Isotopes in Environmental and Health Studies*, 44(2), 201-208.
- Marques, J.M., Graça, H., Eggenkamp, H.G., Neves, O., Carreira, P.M., Matias, M.J., Mayer, B., Nunes, D. and Trancoso, V.N., 2013. Isotopic and hydrochemical data as indicators of recharge areas, flow paths and water-rock interaction in the Caldas da Rainha-Quinta das Janelas thermomineral carbonate rock aquifer (Central Portugal). *Journal of Hydrology*, 476, 302-313.
- Meng, Y. and Liu, G., 2016. Isotopic characteristics of precipitation, groundwater, and stream water in an alpine region in southwest China. *Environmental Earth Sciences*, 75(10), 1-11.
- Mustafa, O., Tichomirowa, M., Kummer, N.A. and Merkel, B., 2016. Assessment of water-rock interaction processes in the Karst springs of Makook Anticline (Kurdistan Region, Iraq) using Sr-isotopes, rare earth, and trace elements. *American Journal of Geosciences*, 9(5), 1-26.
- Sappa, G., Barbieri, M., Ergul, S. and Ferranti, F., 2012. Hydrogeological conceptual model of groundwater from carbonate aquifers using environmental isotopes (^{18}O , ^2H) and chemical tracers: a case study in Southern Latium Region, Central Italy. *Journal of Water Resource and Protection*, 4(09), 695-716.
- Scanlon, B.R., Healy, R.W. and Cook, P.G., 2002. Choosing appropriate techniques for quantifying groundwater recharge. *Journal of Hydrogeology*, 10, 18-39.
- Schwarz, K., Barth, J.A.C., Postigo-Rebollo, C. and Grathwohl, P., 2009. Mixing and transport of water in a karst catchment: a case study from precipitation via seepage to the spring. *Hydrology and Earth System Sciences*, 13, 285-292.
- Verbovšek, T. and Kanduč, T., 2015. Isotope Geochemistry of Groundwater from Fractured Dolomite Aquifers in Central Slovenia. *Aquatic Geochemistry*, 22(2), 1-21.
- Yeh, H.F., Lee, C.H. and Hsu, K.C., 2011. Oxygen and hydrogen isotopes for the characteristics of groundwater recharge: a case study from the Chih-Pen Creek basin, Taiwan. *Environmental Earth Sciences*, 62(2), 393-402.
- Yuan, R., Song, X., Zhang, Y., Han, D., Wang, S. and Tang, C., 2011. Using major ions and stable isotopes to characterize recharge regime of a fault-influenced aquifer in Beiyishui River Watershed, North China Plain. *Journal of Hydrology*, 405(3), 512-521.